



• • •

ISSN (Print) 1994-697X
ISSN (Online) 2706-722X

DOI:
<https://doi.org/10.54633/2333-023-051-023>



Isolate and Identification of *Rhizoctonia solani* Kühn causing Eggplant rot and accompanying bacteria with toxicity studying of fungicides and their effect in vitro

Fatima Chasib Bader^{1*} Alaa Hassan Al-Farttoosy^{2*}

Layla Abdulraheem Benyamin³

^{1,2,3}Department of Plant Protection, College of Agriculture, University of Basrah, Iraq.

¹pgs.fatima.bader@uobasrah.edu.iq,

²alaa.hassan@uobasrah.edu.iq

<https://orcid.org/0000-0002-2222-4561>

Abstract:

The study was conducted at the Mycotoxin Laboratory, Department of Plant Protection / College of Agriculture / University of Basrah for the period 2023-2024. A set of experiments were performed to evaluate the effectiveness of Beltanol (BT), Carbendazim (MBC) and Thiophanate-methyl (TM) fungicides in controlling *Rhizoctonia solani*, which causes eggplant root rot. The genetic matching using BLAST revealed that the bacterial isolates that isolated from non-infected eggplant soils were *Aeromonas caviae*, *Enterobacter cloacae* and *Pseudomonas putida*. The toxicity results of fungicides on *R. solani* also showed the efficiency of the BT in inhibiting the pathogenic fungus by 100% for the tested concentrations of 2, 4, 8, 10, 15, 20, 100, 250, 300, 350, 400 and 500 mg L⁻¹. Both the MBC and TM fungicides demonstrated variation in their efficiency in controlling the pathogen. The toxicity lines confirmed the values of the median effective concentrations (EC₅₀), as they reached 100 and 489.7 mg L⁻¹ for both MBC and TM, respectively. The 50% inhibitory concentration (I₅₀) of BT was estimated at 7.94 mg L⁻¹ for *A. caviae*, *E. cloacae* and *P. putida* respectively. While it was 12.58 mg L⁻¹ for MBC in *A. caviae*, *E. cloacae* and *P. putida* respectively. While it was 31.62 mg L⁻¹ for TM in the case of *A. caviae*, *E. cloacae* and *P. putida* respectively.

Keywords: Root rot fungi, Beltanol, Carbendazim, Thiophanate-methyl, Molecular Identification, Bacterial Isolates.

عزل وتشخيص الفطر المسبب لمرض تعف جذور الباذنجان *Rhizoctonia solani*

والبكتيريا المرافقة للنبات ودراسة تأثير وسمية بعض المبيدات فيما مختبريا

فاطمة جاسب بدر علاء حسن الفرطوسى ليلى عبد الرحيم بنيان

قسم وقاية النبات - كلية الزراعة - جامعة البصرة-العراق

المستخلاص:

نفذت الدراسة في مختبر السموم الفطرية، قسم وقاية النبات / كلية الزراعة / جامعة البصرة للفترة بين ٢٠٢٣-٢٠٢٤. أجريت مجموعة من التجارب بهدف تقييم فاعلية المبيد (BT) Thiophanate-methyl (TM) Carbendazim (MBC) Beltanol (TM) في مكافحة الفطر *Rhizoctonia solani* المسبب لمرض لتعفن جذور نبات البازنجان. بینت التطابق الوراثي باستعمال BLAST بان العزلات البكتيرية التي تم عزلها من تربة نبات البازنجان غير المصايب هي *Enterobacter* و *Aeromonas caviae* و *Pseudomonas putida* و *E. cloacae*. كما أظهرت نتائج سمية المبيدات في *R. solani* كفاءة المبيد BT في تثبيط الفطر المرض بنسبة ١٠٠٪ للتراكيز المختبرة ٢٤ و ٨٠ و ١٥٠ و ٢٠٠ و ٣٠٠ و ٣٥٠ و ٤٠٠ و ٥٠٠ ملغم لتر^{-١}. كما اظهر كلا من المبيد MBC و TM تبايناً في كفاءتهما في مكافحة المرض. اذ أوضحت خطوط السمية قيم التراكيز الفعالة النصفية، اذ بلغت للمبيد MBC و TM ١٠٠ و ٤٩٠.٧ ملغم لتر^{-١} على التوالي. قدرت قيمة التركيز النصفى لمبيد BT ٧٩٤ ملغم لتر^{-١} لـ MBC و TM على التوالي. بينما بلغت ١٢٠.٥٨ ملغم لتر^{-١} للمبيد MBC في كل *E. caviae* و *E. cloacae* على التوالي. بينما بلغت في حالة مبيد TM ٣١٠.٦٢ ملغم لتر^{-١} في كل *P. putida* و *E. cloacae* و *P. putida* على التوالي.

الكلمات المفتاحية: فطر التعفن والبلتانول والكاربندازيم والثايوهافانيت-مثيل والتشخيص الجزيئي، عزلات بكتيرية

المقدمة:

يعد نبات البازنجان *Solanum melongena* L. من نباتات الخضر المهمة، التي ينتمي إلى العائلة الباذنجانية Solanaceae يزرع في المناطق شبه الاستوائية والمناطق الاستوائية (San José *et al.* 2013) ومنها العراق. تحتوي ثماره على البروتين والصوديوم والكريوهيدرات والبوتاسيوم ويشكل الماء ٩٢٪ من وزن الثمرة (Sharma and Kaushik, 2021). بلغت المساحة المزروعة على مستوى العراق ٤٩٠٥٢ دونم ويمتوسط إنتاجية وصل ١٨٣٠٥٦ طن بانخفاض قدرت نسبته ١٥٪ عن إنتاجية عن عام ٢٠٢١ والتي كانت ٢١٦ ألف طن (Central Organization for Statistics, 2022). يصاب البازنجان بالعديد من الامراض النباتية سواء بالزراعة المكشوفة او المحمية والتي توثر في إنتاجيته، ومنها مرض تعفن الجذور المسبب عن الفطر *Rhizoctonia solani* (Pant *et al.*, 2024). يعد مرض تعفن الجذور المتسبب عن الفطر *R. solani* من الامراض المهمة والشائعة وتتسبب في خسائر اقتصادية، اذ تتعرف جذور النبات وتصاب قواعد سيقانه الفرعية من سطح التربة، مما يضعف النبات ويدخل خاصة عند اشتداد الإصابة (Jasim, 2012). تتميز اعراض المرض باختلاف العائل النباتي وعمر النبات والظروف البيئية (Agrios, 2005). اعتمدت المكافحة الكيميائية بشكل اساسي لمقاومة مرضيات التربة نتيجة سهولة الاستخدام، الا ان الاستخدام المتكرر والمفرط تسبب في ظهور مشاكل بيئية خطيرة. من بين الطرق المستخدمة ضد *R. solani* وذلك بزراعة أصناف مقاومة وتعقيم للتربة فضلا عن اعتماد اسلوب الدورات الزراعية (Hussain *et al.*, 2011). كما تم تقييم ثمانية مبيدات هي *Mendipropomide*, *Difenoconazole*, *Fosetyl-aluminium*, *Propineb*, *Carbendazim*, *Thiophanate-methyl* and *Copper oxychloride* and *Metriam*. لوحظ ان هنالك تباين في انخفاض نمو الفطر اعتمادا على تراكيز المبيدات المستعملة. كانت التركيزات الأعلى من مبيدات الفطريات المختبرة أكثر فعالية من التركيزات المتوسطة والمنخفضة. اثبت المبيد Difenoconazole بجميع تراكيزه (١٠٠٠٠-١ جزء في المليون) في تثبيط أكثر من ٥٠٪ لفطريات *F. solani* (Somro *et al.*) في حين قيم (Tekade *et al.*, 2021) فعالية مبيدات جهازية وغير جهازية في المرضين *Rhizoctonia* (*Rhizoctonia solani* *al.*, 2015) و *Fusarium solani bataticola* (Thiram (٠.٠١٪) و *Propiconazole* (٠.٠١٪) و *Carbendazim* (٠.٠٣٪) و *Thiram* (٠.٠٣٪)).

بنسبة ٢٠٠٪ تثبيطاً (Carbendazim + Mancozeb ١٠٠٪) ضد *Fusarium solani* و *Rhizoctonia*. بشكل عام، كان من *Fusarium solani* و *Rhizoctonia bataticola* ضد *Chlorothalonil* ٠.٢٪ أقل كفاءة ضد *Fusarium solani* و *Rhizoctonia*. من جانب آخر، أوضح (Sigdel et al., 2022) كفاءة بعض المبيدات الفطرية في كبح المرضين باستخدام مبيد SAAF (Carbendazim 50% WP) Bavistin (Carbendazim 12% WP + Mancozeb 63% WP) و مبيد Vacomil (Copper oxychloride 50% WP) Raze (Metalaxyl 15% WP + Copper oxychloride 35% WP) Plus (Copper oxychloride 50% WP) Phytophthora (Beltanol 8-hydroxyquinolinium) ضد مكافحة مرضات التربة مثل *Pythium* و *Rhizoctonia* و *Fusarium*. استخدم المبيد بفعالية عالية لمكافحة الفطريات الممرضة وقدرته على توفير حماية للبذور والبادرات من الإصابة بالفطر (Japr et al., 2008). لذا هدفت الدراسة الى تقييم عزل وتشخيص المسبب المرضي لتعفن جذور البازنجان والبكتيريا المرافقة للنبات وتقييم فاعلية المبيدات ضدهما مختبرياً.

المواد وطريق العمل:

١. جمع العينات:

جمعت عينات التربة من حقول البازنجان المصابة في المدينة وسط العرب ومحطة ابحاث كلية الزراعة للعام ٢٠٢٣-٢٠٢٤ لعراض عزل الفطريات المسببة لمرض تعفن جذور البازنجان. بينما تم جمع عينات التربة للحصول على العزلات البكتيرية من تربة نبات محطة الابحاث لنبات البازنجان السليمة. وضعت التربة بأكياس نابلون بولي اثنين معقمة وعلم عليها اسم المنطقة المعزول منها النموذج. نقلت الاكياس بعد ذلك للمختبر لغرض عزل الفطريات والبكتيريا على التوالي.

٢. عزل وتشخيص الفطر *Rhizoctonia solani* والبكتيريا:

تم الحصول على عينات لجذور نباتات البازنجان من مناطق الدير والمدينة. بعد تنظيف جذور النبات بالماء العادي لمدة ساعة لإزالة ما يتعلق بها من التربة. قطعت الجذور على شكل مربعات صغيرة بقطر ١ سم ثم عقمت سطحياً باستخدام ٥٪ من هايبوكلورات الصوديوم مع ٤٥٪ ماء قطر لمرة ٣ دقائق. غسلت بعدها الجذور بماء مقطر لمدة دقيقتين ثم جففت من خلال ورق الترشيح المعقم. نقلت بعدها بواسطة ملقط معقم الى طبق بتري بحجم ٩ سم. اذ يحتوي على وسط زراعي بطاطا دكستروز أكار Potato Dextrose Agar (PDA) المضاف اليه المضاد الحيوي Tetracycline، بعد ان تم تقييمها بجهاز الموصدة عند درجة حرارة ١٢١ ° م وضغط ١ جو لمدة ١٥ دقيقة. اذ استخدمت ٥ قطع لكل طبق تركت الاطباق في الحاضنة في درجة حرارة ١٢٥ ± ٥ ° م لمدة خمسة ايام. ثم تمت التنقية بعد ٤-٥ ايام وذلك بنقل جزء من حواضن النمو الفطري للمستعمرة الى اطباق بتري تحوي وسط PDA وتم حفظها بالحاضنة لحين اكمال فترة النمو. عزلت الفطريات بعدما عمل سلسلة من التخافيف. اذ اخذ ١ غم من التربة المأخوذة من حقل بازنجان تظهر عليه اثار الاصابة وأضيف الى ٩ مل ماء مقطر معقم. تالف سلسلة التخافيف من ١٠°-١٠°. أما البكتيريا فتم اخذ ١ غم من تربة نبات البازنجان الذي لم تظهر عليه اي اعراض اصابة واتبع نفس طريقة التخافيف للفطريات. حضر الوسط الزراعي الغذائي P.D.A. واجري تقييمه باستعمال جهاز التعقيم الموصدة Autoclave عند درجة حرارة 121 ° م وضغط 15 باوند/انج². أضيف ٢٥ ملغم/لتر مضاد حيوي للوسط الزراعي في حالة عزل الفطريات، بينما لم تتم الاضافة في حالة عزل البكتيريا. تم معاملة الاطباق بـ ٠.١ مل طبق (١٠٠ ميكرو لیتر) من التخافيف السابع ١٠°. بعد ذلك، تم تحضير الاطباق عند درجة حرارة ٣٠ ± ١ ° م بشكل مقلوب لمدة ثلاثة أيام (Salih and Hasan, 2023).

٣. تنقية الفطريات والبكتيريا

اجري تنقية للفطريات النامية، بأخذ ٠٠٥ سم من الفطر على شكل قرص بواسطة الثاقب الفليني من حافة الطبق الى اطباق تحتوي P.D.A. معقم وحضنت على نفس الظروف السابقة لمدة سبة ايام. شخصت الفطريات مظهرياً من قبل الدكتور يحيى عاشور صالح/قسم وقاية النبات/ كلية الزراعة/ جامعة البصرة اعتماداً على الصفات التصنيفية التي أوردها (Booth, 1971). تم حفظ العزلة الفطرية على وسط صلب مائل slant في الثلاجة في درجة حرارة ٥°C. أما العزلات البكتيرية، فقد تم عزلها بنفس الطريق اعلاه، واعيد تنقيتها بواسطة طريقة التخطيط Streaking وذلك بأخذ مستعمرة نقية وتحظيتها في اطباق بتري تحتوي P.D.A. وحضنت تحت درجة حرارة ٣٠ ± ١°C لمدة ٢٤ ساعة. اخذت المستعمرات (العزلات) النقية وحظت في وسط غذائي سائل (Broth) لمدة ٢٤ ساعة ثم حفظت في درجة حرارة ٦-٥°C في الثلاجة.

٤. التشخيص الجزيئي للفطر *R. solani* والبكتيريا

تم اجراء تجارب التشخيص الجزيئي لعزلة الفطر *R. solani* والبكتيريا في مختبر الجينوم في البصرة. اجري استخلاص وتنقية وبرنامج التفاعل المتسلسل للفطر وفق البروتوكول الموصوف في (Waham and Naser, 2024) بينما اتبع البروتوكول الموصوف في (Fouad et al., 2002) الخاص باستخلاص وتنقية وتشخيص البكتيريا.

٥. دراسة سمية بعض المبيدات الفطرية في الفطر الممرض *R. solani* على الوسط الزراعي.

تم في هذه التجربة اختبار ثلاثة مبيدات فطرية هي Carbendazim وBeltanol وThiophanate-methyl وذلك باستعمال الاوساط الغذائية المسممة بواقع ست تراكيز لكل مبيد ١٠٠ و ٢٥٠ و ٣٥٠ و ٤٥٠ و ٥٠٠ ملغم لتر⁻¹ بواقع ٣ مكررات لكل تركيز. بينما استخدمت التراكيز الآتية ٥ و ١٠ و ١٥ و ٢٠ و ٢٥ و ٣٥ للمبيد BT وذلك بسبب عدم نمو الفطريات الممرضة له على التراكيز المستخدمة على المبيدات MBC وTM. في حين استخدم الماء كمعاملة مقارنة. تم إضافة التراكيز المحضرة الى الوسط الزراعي P.D.A. بعد تبريده ورج الوسط جيداً لضمان توزيع المبيد وتجانسه مع الوسط. ثم زرعت افراص بقطر ٠.٥ سم مأخوذة من حافة مستعمرة الفطر *R. solani* المنوى على الوسط الغذائي P.D.A. بعمر ثمانية أيام. كرت كل معاملة ثلاثة مرات اما معاملة المقارنة فقد احتوت على الوسط الغذائي P.D.A. فقط. تم تحضين الاطباق عند درجة حرارة ٢٨ ± ٢°C. سجلت النتائج النهائية بعد ثمانية أيام باستعمال برنامج ImageJ وذلك بحساب متوسط قياس قطرين متوازدين للمستعمرات الفطرية. كما تم التسبة المئوية للنمو باتباع المعادلة الآتية:

$$\% \text{ للنمو الفطري} = \frac{\text{متوسط قطر المعاملة}}{\text{متوسط قطر المقارنة}} \times 100$$

اما التثبيط حسب المعادلة الآتية: -% تثبيط = $\frac{\text{متوسط قطر المقارنة} - \text{متوسط قطر المعاملة}}{\text{متوسط قطر المقارنة}} \times 100$

٦. دراسة سمية المبيدات الفطرية في العزلات البكتيرية باستعمال جهاز الطيف المرئي على وسط Nutrient Broth

اجري التجربة كما في الفقرة (٩.٣). اذ حضنت البكتيريا لمدة ٢٤ ساعة في درجة حرارة ٢٨ ± ١°C لمدة ٢٤ ساعة. تم حساب نمو البكتيريا باستعمال جهاز الطيف المرئي عند ٦٠٠ نانومتر طول موجي.

٧. التحليل الاحصائي والحسابات

اتبعنا الطرق المذكورة في (Sha'ban and Al-Malah, 1993) لحساب ورسم خطوط السمية. كما تم حساب معدلات النمو والنسب المئوية للنمو والتثبيط وفقاً لما مذكور في (Hendricks et al., 2017).

النتائج والمناقشة

Rhizoctonia solani وصف الفطر

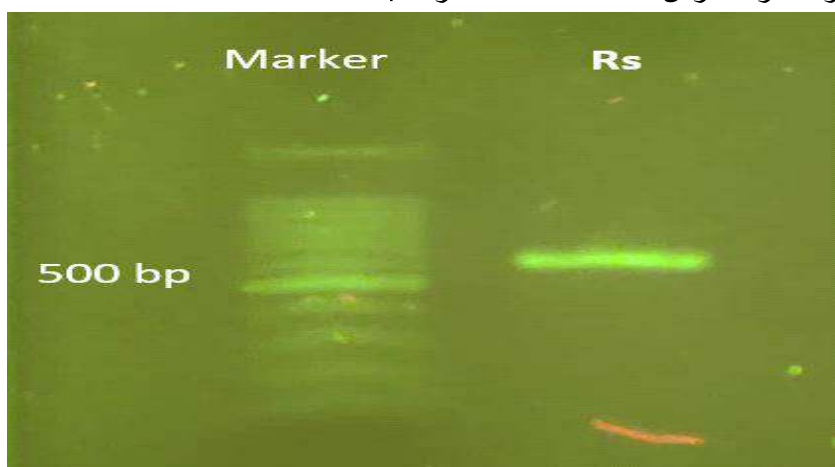
يبين الشكل (1) مستعمرة الفطر *R. solani* والتي تظهر بأنها بيضاء مائلة قليلاً إلى اللون البني الفاتح على وسط الزرعي. الغزل الفطري كثيف ظهر المستعمرة أبيض قطر المستعمرة يصل إلى 9 سم في 7 أيام. يكون الخطوط الفطري سميكة وكثير التفرع يصل قطره إلى 7 ميكرون. يوجد تفرعات قائمه تنشأ من الغزل الفطري يصل قطرها إلى 7 ميكرون. ويوجد حاجز عرضي يبعد عن منطقة التفرع بقدر ١٤-١٩ ميكرون ويوجد تختصر في منطقة التفرع وأحياناً يكون هذا التختصر غير واضح.



شكل (1): الفطر *R. solani* (A. *R. solani*) صورة الفطر من الاعلى (B) صورة الفطر من الاسفل.

التشخيص الجزيئي للعزلات البكتيرية والفطر

من أجل التأكيد بشكل قطعي للعزلات البكتيرية المعزولة من تربة ونبات البازنجان فضلاً عن المسبب المرضي الفطري، أجري التشخيص الجزيئي باستخدام تقنية التفاعل البوليمري المتسلسل PCR واعتماد الشفرة الجزيئية العالمية ITS بالنسبة للفطر *R. solani*. اذ اجري تطابق للعينات بعد الحصول على تتابعات القواعد النيتروجينية، استعمل برنامج BLAST ومطابقتها في بنك الجينات Gen Bank حيث الحصول على النتائج الموضحة في الشكل (2) والجدول (1). اذ بين الشكل (2) ان المسبب الفطري المعزول من تربة نبات البازنجان المصايب يعود للفطر *R. solani* بحسب ظهوره عند القاعدة النيتروجينية 500 bp وقد حق نسبة تطابق عالية وصلت 99.20%. تتفق نتائج التشخيص الجزيئي الحالية مع دراسة (Al-Fadhal *et al.*, 2013; Infante *et al.*, 2013) الذي بينوا بظهور الفطر الممرض *R. solani* عند الحزمة 500 bp.

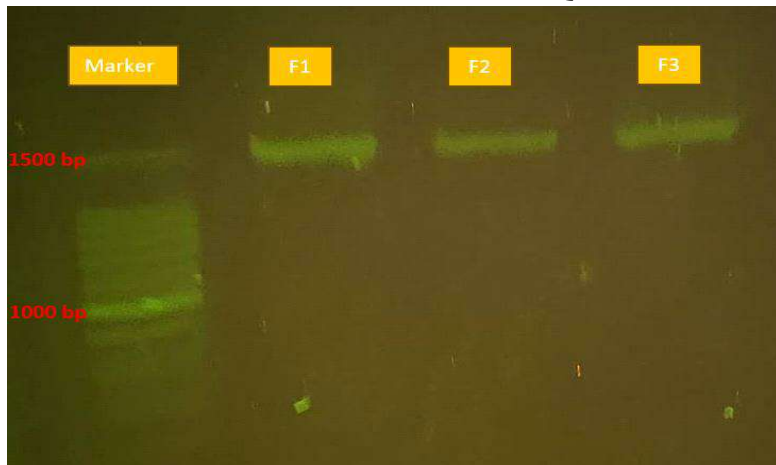


شكل (2): نتائج التر Higgins الكهربائي بهلام الاكاروز للمستخلص الفطري *R. solani*

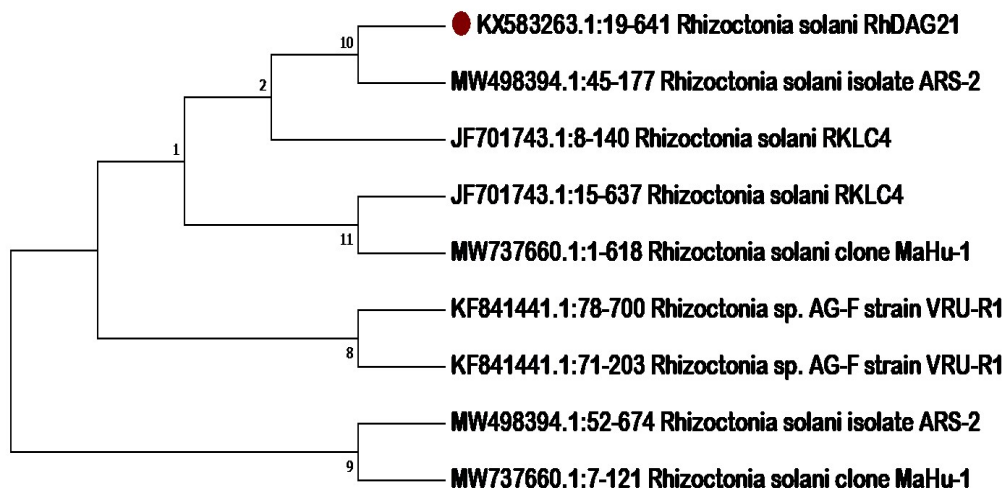
جدول (1): نسبة التطابق والتغطية ورمز الوصول الجيني للعزلات البكتيرية والفطر المستخدمة في الدراسة

الرمز الجيني	% للتغطية Query cover	% للتطابق Identify	رمز العزلة	العزلة	ت
KX583263.1	51%	99.20%	RhDAG21	<i>Rhizoctonia solani</i> الفطر	1
OP824625.1	57%	94.15%	ZXY-3	<i>Aeromonas caviae</i> بكتيريا	2
MN982856.1	61%	96.16%	SDKVG04	<i>Enterobacter cloacae</i> بكتيريا	3
HF572844.1	93%	79.92%	E1	<i>Pseudomonas putida</i> بكتيريا	4

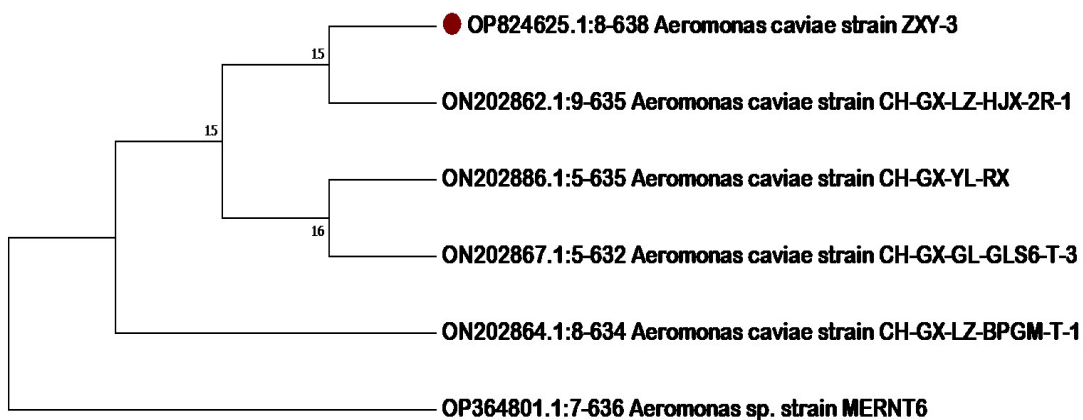
في حين تم التشخيص الجيني للعزلات البكتيرية باستعمال البادئ 16s rRNA . اذ أوضحت تقنية التفاعل البوليمري المتسلسل بأن العزلات المستحصل عليها من التربة والنبات كانت تعود للبدائية النواة Eukaryotes . حيث ان ظهور الحزم عند 1500 bp . حيث تم اجراء تطابق العينات ببرنامج BLAST وبنك الجينات Gen Bank في الشكل (3) والجدول (1). اذ لوحظ بأن البكتيريا *A. caviae* حققت نسبة تطابق 94.15 % بينما بكتيريا *E. cloacae* 96.16% و بكتيريا *P. putida* 79.92% و تعد الاخرية اعلى نسبة تطابق تم الحصول عليها . تتفق نتائج الدراسة مع دراسات أخرى أجريت لعزل البكتيريا منها ، دراسة (Mulia et al., 2020) اللذين شخصوا بكتيريا *A. caviae* و دراسة (Jin et al., 2018) اللذين شخصوا بكتيريا *E. cloacae* وأخيرا دراسة (Hayashi et al., 2020) حول بكتيريا *P. putida* . كما تتفق مع دراسة (Hameed and Al-Farttoosy, 2022) اللذان شخصوا البكتيريا *P. putida* (al., 2024).


شكل (3): الترهل الكهربائي للحمض النووي RNA المستخلص للعزلات البكتيرية F1 و F2 و F3 قيد الدراسة.

استناداً للنتائج المستحصلة، تم رسم شجرة التطور والنشوء باستخدام برنامج MEGA v-7.0 بطريقة Neighbour-Joining method لإظهار حالة التقارب الوراثي لعزلة الفطر الممرض *R. solani* و للعزلات البكتيرية (F1 و F2 و F3) من خلال استخدام القواعد النيتروجينية لكل عزلة بكتيرية على حده (الاشكال 4 و 5 و 6 و 7) على التوالي.



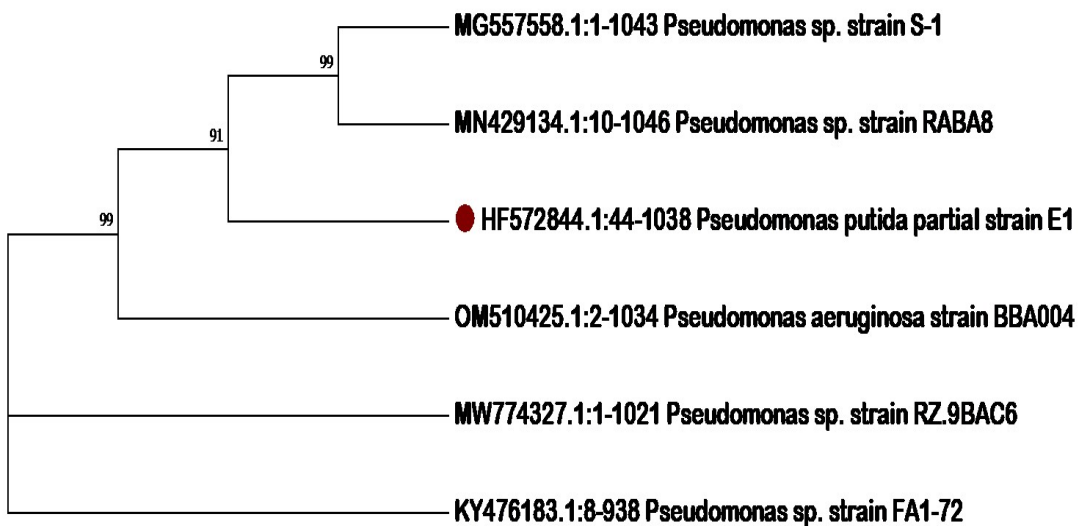
شكل (٤): شجرة النشوء والتطور Phylogenetic tree المكونة بطريقة الوراثي للتتشابهية للفطر *R. solani* مقارنة بالتشابهات العالمية لقواعد النيتروجينية المسجلة في NCBI/GenBank.



شكل (٥): شجرة النشوء والتطور Phylogenetic tree المكونة بطريقة الوراثي للبكتيريا *A. caviae* مقارنة بالتشابهات العالمية لقواعد النيتروجينية المسجلة في NCBI/GenBank.



شكل (٦): شجرة النشوء والتطور Phylogenetic tree المكونة بطريقة الوراثي للتتشابهية الوراثي للبكتيريا *cloacae* مقارنة بالتشابهات العالمية لقواعد النيتروجينية المسجلة في NCBI/GenBank.



شكل (٧): شجرة النشوء والتطور Phylogenetic tree المتكونة بطريقة Niebuhr-joining للتشابهية الوراثي للبكتيريا *P. putida* مقارنة بالتشابهات العالمية لقواعد النيتروجينية المسجلة في NCBI/GenBank دراسة سمية المبيدات ورسم خط السمية سمية المبيد BT ضد الفطر *R. solani*

اثبت المبيد BT كفاءة تثبيطه عالية عند استخدامه بالتركيز (١٠٠ و٢٥٠ و٣٠٠ و٤٥٠ و٥٠٠) ملغم لتر^{-١}. اذ لم ينمو الفطر مطلقا على هذه التراكيز. مما اضطررنا الى تقليل التراكيز الى (٢ و٤ و٨ و١٥ و٢٠) ملغم لتر^{-١}. كذلك اثبتت هذه التراكيز كفاءتها العالية في منع نمو الفطر *R. solani* (جدول ٢).

تفق هذه النتيجة مع دراسة (Al-Baldawy *et al.*, 2021) الذين استخدمو المبيد BT بتركيز ٠٠٠٥٪ فوجدوا كفاءة عالية في تثبيط ومنع الفطر الممرض بشكل كامل بنسبة تثبيط ١٠٠٪. كذلك تتفق النتيجة مع ما توصل إليه دراسة (Abdulmoohsin *et al.*, 2019) كفاءة المبيد BT في تثبيط الفطر *R. solani* بنسبة ١٠٠٪ على محصول اللوبيا. اذ تعزى فعالية المبيد BT إلى كونه مبيد فعال ضد مجموعة واسعة من الفطريات المسببة للأمراض اذ يعمل على تكوين مركبات مخلبية مع النحاس في أنسجة العائل مما يسهل طريقه إلى خلايا الفطر الممرض ومن ثم يتحرر ويقتل الفطر الممرض (Al-Machi, 2014). فضلا عن ذلك، فإنه من المحتمل أن يكون تأثير المبيد BT في الفطر *R. solani* ناجم عن مادته الفعالة (المواد الهيدروكسوسية الكينولون والكربيريات) التي تتحد مع بعض المعادن، مما يؤدي إلى تكوين المركب المعقد. هذه المعادن مثل الحديد والكربيريت مهمه جدا في عمليات التمثيل الغذائي لمسببات الأمراض النباتية. كما اثبتت (Jabr *et al.*, 2008) كفاءة المبيد BT في منع نمو الفطر بالكامل مما يدل على كفاءه الحيوي في تثبيط مرضات التربية خاصة *R. solani*. فضلا عن ذلك، بين (Fani *et al.*, 2022) ان استخدام المبيد BT بتركيز ٠.٣ مل لتر^{-١} خفض الإصابة بالفطر *Phytophthora melonis* الى ٥٠٪ بينما التركيزين ٤٠.٥٪ و ٥٩.٥٪ مقارنة بمعاملة المقارنة. في حين أكدت نتائج (Khudier and Abdulmoohsin, 2023) كفاءة مبيد BT في خفض معدل الإصابة وشدةتها للفطر *F. solani* الى صفر٪.

جدول (٢): سمية مبيد BT في النمو الشعاعي والسبة المئوية للنمو الفطري ونسبة التثبيط المئوية في الفطر *R. solani*

التركيز%	النمو%	النمو الشعاعي سم	التركيز ملغم لتر ^{-١}
100	0	0	2
100	0	0	4
100	0	0	8
100	0	0	10
100	0	0	15
100	0	0	20
100	0	0	100
100	0	0	250
100	0	0	300
100	0	0	350
100	0	0	450
100	0	0	500

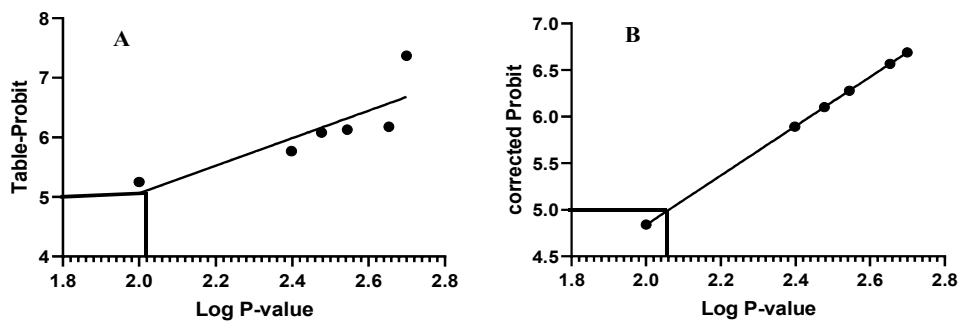
سمية المبيد MBC ضد الفطر *R. solani*

تبين النتائج في الجدول (٣) كفاءة مبيد MBC في التأثير في نمو الفطر الممرض *R. solani*. اذ يلاحظ ان مقدار النمو الشعاعي يقل كلما زاد تركيز المبيد المستخدم. اذ انخفض معدل النمو من ٣٥٢ سم الى ٠٠٧٧ سم عند التركيزين ١٠٠ و ٥٠٠ ملغم لتر^{-١} على التوالي. وبالتالي ينعكس ذلك على نسبة النمو% اذ تقل بزيادة التركيز. بينما يؤدي ذلك الى زيادة نسبة التثبيط المئوية. اذ تزداد بزيادة التركيز ، حيث ارتفعت نسبة التثبيط المئوية من ٦٠.٨٥ % الى ٩١.٣٥ % عند التركيزين ١٠٠ و ٥٠٠ ملغم لتر^{-١} على التوالي.

اما النتائج بالشكل (٨) فتبين رسم خط السمية للمبيد MBC. اذ تم رسم الخط المستقيم بدلالة لوغاريثم التركيز مع وحدات الاحتمال مما اعطى خط سمية في الشكل (٨-A). ثم اجري تصحيح لرسم خط التثبيط المئوي (شكل B-8). من ملاحظة خط التثبيط للمبيد MBC يمكن ان يبين ان هناك استجابة لمدى واسع من التركيز ، وعليه، ان هذا النوع من تحليل دراسات السمية يعطي موشراً مهماً عن مدى استجابة الممرضات لتركيز من المبيد من جانب ، والتوقع بوقت ظهور صفة المقاومة من جانب اخر . بينما اثبتت دراسة (Kushwaha *et al.*, 2017) كفاءة مبيد MBC عند استخدامه بالتركيز ٥ و ١٠ و ١٥ و ٢٠ ملغم لتر^{-١} في مكافحة مرض اللحمة المتأخرة في الفاصولياء، اذ وجد أن المبيد MBC فعالن للغاية في تقليل النمو الشعاعي لـ *R. solani* بنسبة ٩٣.٣٣ %. كما استنتجوا بأن الرش الورقي للمبيد MBC متوفّق على المعالجات الأخرى حيث أعطى انخفاضاً بنسبة ٨٥.٧٧ % في شدة المرض وأقصى محصول للحبوب (١٥٩.٤٥ كجم / هكتار).

جدول (٣): سمية مبيد MBC في النمو الشعاعي والسبة المئوية للنمو الفطري ونسبة التثبيط المئوية في الفطر *R. solani*

وحدات الاحتمال	الانحراف القياسي	% التثبيط	الانحراف القياسي	% النمو	الانحراف القياسي	النمو الشعاعي	التركيز ملغم لتر ^{-١}
5.25	2.01	60.85	2.01	39.15	0.18	3.52	100
5.77	3.146	78.25	3.14	21.74	0.28	1.95	250
6.08	2.82	86.45	2.82	13.54	0.25	1.08	300
6.13	0.06	87.89	0.06	12.10	0.006	1.05	350
6.18	1.08	88.23	1.08	11.76	0.09	0.77	450
7.37	1.68	91.35	1.68	8.65	0.15	0.77	500



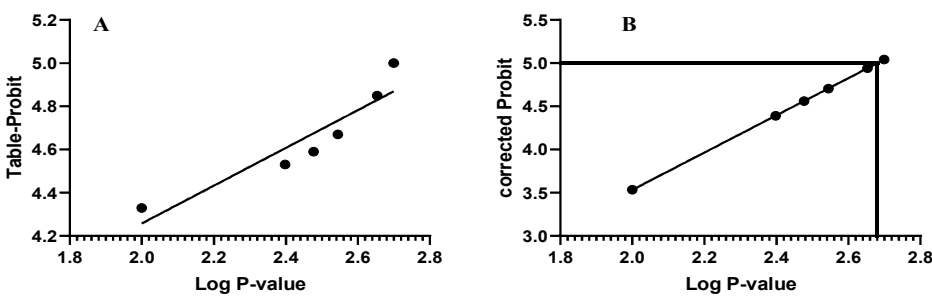
الشكل (٨): تحديد التركيز الفعال المتوسط MBC ضد فطر *R. solani* (A) قبل التصحيح و (B) بعد التصحيح. قيمة EC₅₀ = ١٠٠ ملغم لتر -١.

سمية المبيد TM ضد الفطر *R. solani*

تشير النتائج المبينة في الجدول (٤) تأثير المبيد TM في النمو الشعاعي و % للنمو و % للتثبيط للفطر *R. solani*. اذ اشار بأن لمبيد TM تأثيراً واضحاً في معدل النمو الشعاعي للفطر *R. solani* اذ خفض معدل النمو من ٦.٦٦ سم الى ٤.٤٢ سم و % للنمو من ٧٤٠.٩% الى ٤٩٠.٢% و % للتثبيط من ٢٥٠.٩% الى ٥٠٠.٧٨% ملغم لتر^{-١} على التوالي. بينما اشارت نتائج رسم خط السمية استجابة الفطر *R. solani* لمدى واسع من التركيز. اذ بلغ ميل خط التثبيط المستقيم ٢.١٥ (الشكل ٩).

جدول (٤): سمية مبيد TM في النمو الشعاعي والسبة المئوية للنمو الفطري ونسبة التثبيط المئوية في الفطر *R. solani*

وحدات الاحتمال	الانحراف القياسي	% التثبيط	الانحراف القياسي	% النمو	الانحراف القياسي	النمو الشعاعي	التركيز ملغم لتر ^{-١}
4.33	16.53	25.90	16.53	74.09	1.48	6.66	100
4.53	14.10	32.04	14.10	67.95	1.26	6.11	250
4.59	12.80	34.75	12.80	65.24	1.15	5.87	300
4.67	12.53	37.93	12.53	62.06	1.12	5.58	350
4.85	3.30	45.51	3.30	54.48	0.29	4.90	450
5.00	6.65	50.78	6.65	49.21	0.59	4.42	500



الشكل (9): تحديد التركيز الفعال المتوسط TM ضد فطر *R. solani*. (A) قبل التصحيح و (B) بعد التصحيح. قيمة $EC_{50} = 489.7$ ملغم لتر⁻¹.

تفق نتيجة الدراسة مع دراسة (Lai *et al.*, 2017) اللذين اثبتوا كفاءة مبيد TM في خفض معدل إصابة البطاطا بالقرشة السوداء المتسبب عن الفطر *R. solani* بنسبة ٨٣.٧٪ (في عام ٢٠١٢-٢٠١٣) و ٦٧.٥٪ (في عام ٢٠١٤-٢٠١٣). كما خفض شدة المرض بنسبة ٨٢.٦٪ (في عام ٢٠١٣-٢٠١٢) و ٦٠.٤٪ (في عام ٢٠١٤-٢٠١٣). كذلك ما توصلت اليه دراسة Mihajlović *et al.*, 2022) لاحظ حساسية الفطر *R. solani* لجميع المبيدات المختبرة ومنها مبيد TM. اذ بلغت قيمة EC_{50} ١٠.٨٤ ملغم لتر⁻¹ وهذا يدل على سميتها العالية للفطر. كذلك مع دراسة (Abd-El-Khair *et al.*, 2019) اللذين توصلوا الى كفاءة استخدام المبيد TM بشكل منفرد او مع الفطر *Trichoderma spp.* لمعالجة بذور نبات الفاصولياء اعطى كفاءة وفعالية عالية في خفض مرض تساقط البادرات وتعفن الجذور والذبول. فضلاً عن ذلك، استنتجوا إمكانية استخدام المبيد TM مع عزلات الفطر *Trichoderma spp.* في تحفيز المقاومة الجهازية.

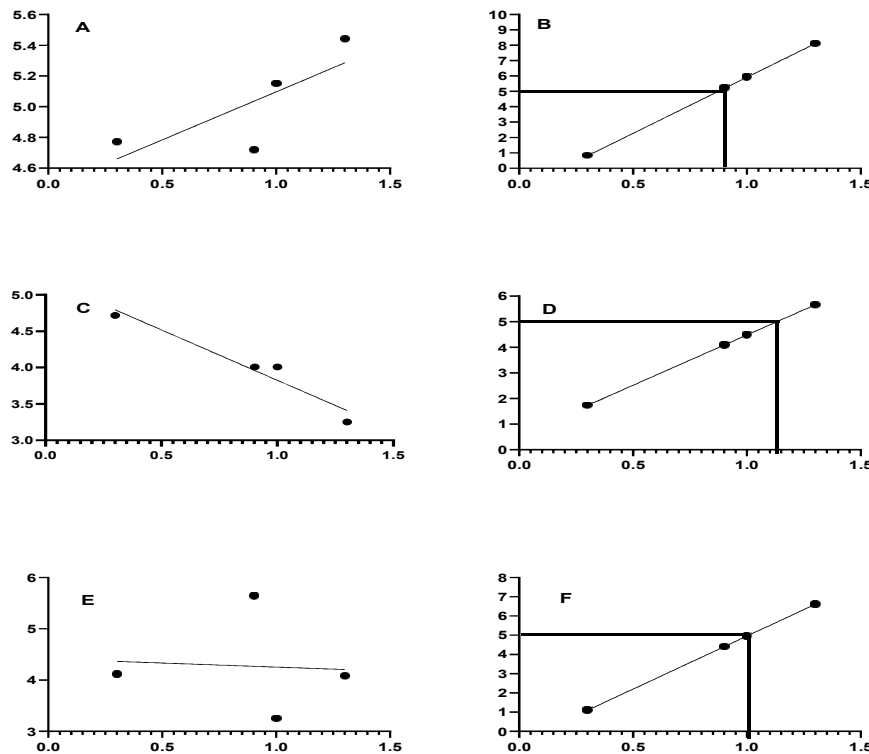
دراسة سمية المبيدات في السلالات البكتيرية وتقدير التركيز المنبط النصفى MIC

تبين النتائج في الشكل (10) خطوط سمية المبيدات BT و MBC و TM ضد البكتيريا *A. caviae*. اذ يلاحظ بان ميل خط السمية في الشكل (10-B) يبلغ ٧.٢٩ في المبيد BT بينما في الشكلين (D-10 و F-10) ٣.٩٢ و ٥.٥٢ للمبيدات MBC و TM على التوالي. وبالتالي، قدر MIC لهذه المبيدات ٧.٩٤ و ١٢.٥٨ و ٣١.٦٢ ملغم لتر⁻¹ على التوالي. يدل ذلك على تجانس افراد المجموعة للاستجابة للمبيد المختبر. الا ان استجابة الافراد للمبيد BT تدل على شدة الحساسية للمبيد BT وبالفعل يعد المبيد BT من المبيدات الأكثر فاعلية سواء للفطريات او للبكتيريا كونه مبيدا بكتيريا أيضا. بينما تقل حساسية المبيد MBC و TM باعتبارهما مبيدات فطرية ولا تمتلك تأثيرا بكتيرياً.

من جانب اخر، تشير النتائج في الجدول (5) والجدول (6) الى سمية المبيدات في مساحة نمو البكتيريا في الاطباقي والنمو النسبي والنسبة المئوية للتثبيط. اذ يلاحظ من الجدول (5) سمية مبيد BT اذ زادت مساحة نمو البكتيريا بزيادة التركيز من ٢ و ٨ ملغم لتر⁻¹. ثم انخفضت عند التركيز ١٠ و ٢٠ ملغم لتر⁻¹. كذلك بالنسبة للنمو النسبي% اذ بلغ ٦٠.٣% عند التركيز ٨ ملغم لتر⁻¹ وانخفض الى ٣٢.٢% عند التركيز ٢٠ ملغم لتر⁻¹.

في حين لوحظ من الجدول (6) انه كلما زاد تركيز مبيد MBC زادت مساحة النمو البكتيري والنمو النسبي% وقلت نسبة التثبيط%. يرجع ذلك الى كون المبيد MBC مبيدا فطرياً ولا يؤثر في البكتيريا اذ من المرجح ان البكتيريا استفادت منه كمصدر للطاقة. يرجع زيادة نمو البكتيريا *A. caviae* MBC نتيجة استعمال مبيد MBC لما اثبته (Silambarasan and Abraham, 2020) بقدرة البكتيريا على تحليل ٢٠٠ ملغم لتر⁻¹ من المبيد MBC في غضون ٤-٩ أيام. حيث بلغ ثابت التحلل ٥٣.١٦ يوم-١ وهذا يثبت صحة نتائجنا. أما فيما يتعلق بالجدول (7) فيظهر هنا تذبذب المبيد TM في نمو البكتيريا. في الوقت الذي سجل التركيز ٢

ملغم لنر⁻¹ نسبة نمو وصلت ١٠١٤ ، فإن التركيز ٨ ملغم لتر⁻¹ خفض مساحة نمو البكتيريا الى ٠٠٣٥ سم ثم لتعود وترتفع عند التركيز ١٠ الى ١٠١٢٨ سم وتتحفظ الى ١٠١٥ سم عند التركيز ٢٠ ملغم لتر⁻¹. انعكس هذا التذبذب في تأثير المبيد TM في نسبة التثبيط%.



شكل (10): خطوط السمية ضد البكتيريا . A. *caviae* (A) خط سمية المبيد TB قبل التصحيح و (B) خط سمية المبيد TB بعد التصحيح و (C) خط سمية المبيد MBC قبل التصحيح و (D) خط سمية المبيد MBC بعد التصحيح و (E) خط سمية المبيد TM قبل التصحيح و (F) خط سمية المبيد TM بعد التصحيح.

جدول (5): سمية مبيد TB في نمو بكتيريا A. *caviae* ونموها النسبي ونسبة التثبيط المئوية.

وحدات الاحتمال	الانحراف القياسي	% التثبيط	الانحراف القياسي	% النمو	الانحراف القياسي	مساحة النمو في الطبق	التركيز ملغم لتر ⁻¹
4.77	2.356	41.523	2.356	58.476	0.001	0.820	2
4.72	2.434	39.624	2.434	60.375	0.007	0.847	8
5.15	1.651	56.710	1.651	43.289	0.001	0.607	10
5.44	1.089	67.788	1.089	32.211	0.004	0.452	20
-	-	-	-	100	0.053	1.405	المقارنة

جدول (6): سمية مبيد MBC في نمو بكتيريا *A. caviae* ونموها النسبي ونسبة التثبيط المئوية.

وحدات الاحتمال	الانحراف القياسي	% التثبيط	الانحراف القياسي	% النمو	الانحراف القياسي	مساحة النمو في الطبق	التركيز ملغم لتر ⁻¹
4.72	2.266	39.533	2.266	60.466	0.002	0.848	2
4.01	3.057	16.988	3.056	83.011	0.004	1.164	8
4.01	2.963	16.992	2.963	83.007	0.004	1.164	10
3.25	1.067	4.248	1.066	95.751	0.019	1.36	20
-	-	-	-	100	0.033	1.420	المقارنة

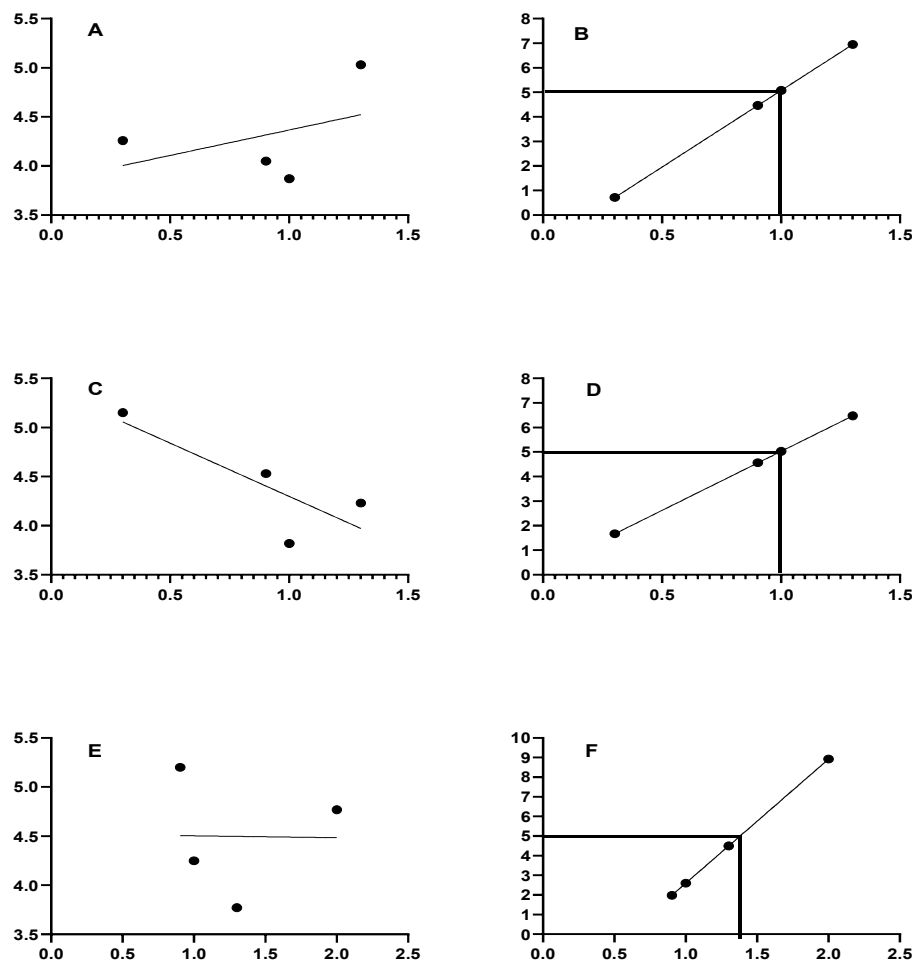
جدول (7): سمية مبيد TM في نمو بكتيريا *A. caviae* ونموها النسبي ونسبة التثبيط المئوية.

وحدات الاحتمال	الانحراف القياسي	% التثبيط	الانحراف القياسي	% النمو	الانحراف القياسي	مساحة النمو في الطبق	التركيز ملغم لتر ⁻¹
4.12	1.862	19.103	1.862	80.896	0.006	1.148	2
5.64	0.525	74.953	0.525	25.046	0.003	0.355	8
3.25	2.032	9.456	2.032	90.543	0.008	1.285	10
4.08	1.843	18.469	1.843	81.530	0.001	1.157	20
		0	-	100		1.420	المقارنة

اما فيما يخص سمية المبيدات ضد البكتيريا *E. cloacae*, فتشير خطوط سمية المبيد BT (الشكل-A و-B و-C و-D و-E و-F) والمبيد MBC (الشكل-C و-D و-E و-F) والمبيد TM (الشكل-E و-F و-G) عن حساسية واستجابة الافراد لهذه المبيدات. تم تقدير MIC للمبيدات كالاتي ٧٠.٩٤ و ١٢٠.٥٨ و ١٢٠.٥٨ ملغم لتر⁻¹. اذ يلاحظ ان ميل خط السمية للمبيد TB البالغ ٠٠.٥١٨ اكبر بالمقارنة مع ميل خط سمية المبيدات MBC و TM اللذان بلغا ٠.١٠٨ و ٠.٩ - على التوالي. هذا يدل على ان الافراد المختبرة كانت اعلى حساسية في المبيد TB. هذه النتيجة تتفق مع كثير من الدراسات كون المبيد TB مبيدًا متخصصاً ضد البكتيريا. مثلاً اتفقت دراستنا مع دراسة من تأثير المبيد BT (الجدول 8) في البكتيريا المسيبة لمرض البقع الزاوية على الأوراق الناتج عن (Gomah, 2008) *Pseudomonas syringae* pv. *lachrymans*.

من جانب اخر، يمكن ان تأثير المبيد MBC في البكتيريا *E. cloacae* كان متبذلاً، اذ زاد معدل نمو البكتيريا في الطبق بزيادة طردية بين التركيز ٢ و ٨ و ١٠ ملغم لتر⁻¹ ثم انخفض عند التركيز ٢٠ ملغم لتر⁻¹. من المرجح يعود السبب في ذلك لعد مقدرة البكتيريا على تحمل التركيز الأعلى مما سبب لها انكمash في النمو والنما النسبي % (الجدول 8).

على العكس منه، أظهرت البكتيريا *E. cloacae* استجابة لتركيز المبيد TM حيث زاد معدل النمو بالطبق بزيادة التركيز وترجع قلة حساسية مبيد TM لبكتيريا *E. cloacae* لما بيته دراسة (Cycon' et al., 2011) الذين أكدوا مقدرة البكتيريا في حل المبيد TM بتركيز ٥٠ ملغم لتر⁻¹. وهذا واضح جلياً في الجدول (8) الذي يبين بان زيادة التركيز يقابلها مقدرة البكتيريا على النمو في الطبق وبذلك زادت النسبة المئوية للنمو النسبي وقل التثبيط%.



شكل (11): خطوط السمية ضد البكتيريا *E. cloacae* . (A) خط سمية المبيد TB قبل التصحيح و (B) خط سمية المبيد TB بعد التصحيح و (C) خط سمية المبيد MBC قبل التصحيح و (D) خط سمية المبيد MBC بعد التصحيح و (E) خط سمية المبيد TM قبل التصحيح و (F) خط سمية المبيد TM بعد التصحيح.

جدول (8): سمية مبيد TB في نمو بكتيريا *E. cloacae* ونموها النسبي ونسبة التثبيط المئوية.

وحدات الاحتمال	الانحراف القياسي	% التثبيط	الانحراف القياسي	% النمو	الانحراف القياسي	مساحة النمو في الطبق	الترابيز ملغم لتر ⁻¹
4.26	0.882	23.986	0.882	76.013	0.002	0.818	2
4.05	0.651	7.269	0.651	92.730	0.002	0.998	8
3.87	0.983	3.304	0.983	96.695	0.002	1.041	10
5.03	0.511	51.853	0.511	48.146	0.001	0.518	20
	0	0	0	100	0.009	1.076	المقارنة

جدول (9): سمية مبيد MBC في نمو بكتيريا *E. cloacae* ونموها النسبي ونسبة التثبيط المؤدية.

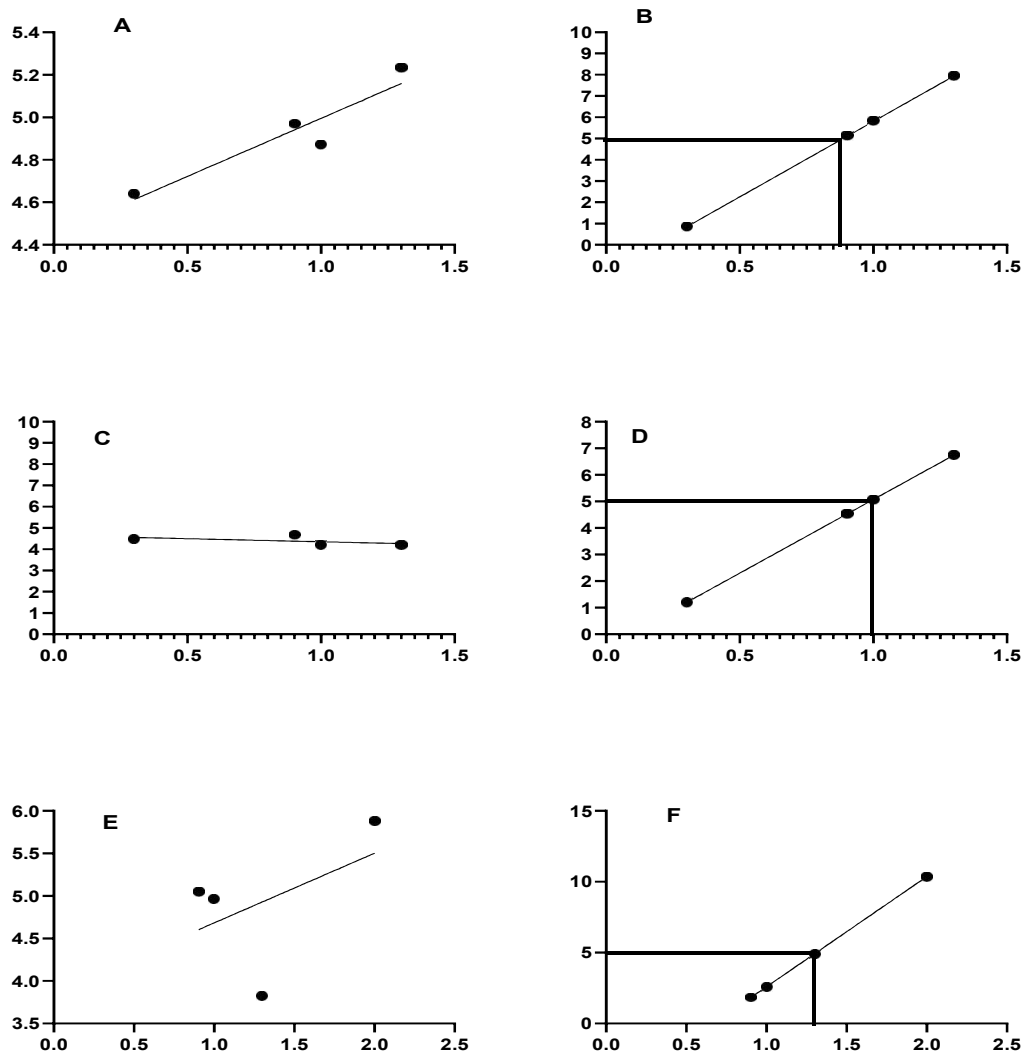
وحدات الاحتمال	الانحراف القياسي	% التثبيط	الانحراف القياسي	% النمو	الانحراف القياسي	مساحة النمو في الطبق	التركيز ملغم لتر ⁻¹
5.15	0.262	56.158	0.262	43.841	0.001	0.472	2
4.53	0.508	32.317	0.507	67.682	0.001	0.728	8
3.82	0.714	2.254	0.714	97.745	0.003	1.052	10
4.23	0.167	22.663	0.166	77.336	0.008	0.832	20
	0	0	0	100	0.009	1.076	المقارنة

جدول (10): سمية مبيد TM في نمو بكتيريا *E. cloacae* ونموها النسبي ونسبة التثبيط المؤدية.

وحدات الاحتمال	الانحراف القياسي	% التثبيط	الانحراف القياسي	% النمو	الانحراف القياسي	مساحة النمو في الطبق	التركيز ملغم لتر ⁻¹
4.77	0.295	41.515	0.295	58.484	0.003	0.629	2
5.2	0.131	58.079	0.131	41.920	0.002	0.451	8
4.25	0.239	24.056	0.239	75.943	0.008	0.817	10
3.77	1.069	11.538	1.069	88.461	0.003	0.952	20
	0	0	0	100	0.009	1.076	المقارنة

اما عن نتائج الشكل (12) تبين تأثير المبيد BT وTM في البكتيريا *P. putida* فيلاحظ ان ميل خط المستقيم اشار الى حساسية البكتيريا للمبيدات. حيث بلغت قيمة MIC لها ٧.٩ و ٣١.٦٢ ملغم لتر⁻¹ على التوالي. بينما بلغ في حالة المبيد MBC ١٢٥٤ ملغم لتر⁻¹. اما ميل خطوط السمية بلغت ٧.٠٩ و ٧.٧٧ للمبيدات BT و TM على التوالي. بينما بلغ في حالة المبيد MBC .٥٥٤.

اما عن علاقة المبيد BT مع بكتيريا *P. putida* فيلاحظ من الجدول (11) ان النمو البكتيري يقل كلما زاد التركيز وعليه يقل النمو النسبي % ونسبة التثبيط%. وربما يعود ذلك كونه مبيد بكتيري. أما نتائج الجدول (12) تبين ان التركيز الواطئة للمبيد MBC كانت مؤثرة في نمو البكتيريا *P. putida* ثم بدء النمو يزداد عند التركيزين ١٠ و ٢٠ ملغم لتر⁻¹ على التوالي. اما عن الجدول (13) فيبين تأثير المبيد TM في نمو البكتيريا *P. putida* اذ كذلك يلاحظ بان نمو البكتيريا يزداد بزيادة التركيز. ويعود السبب في ذلك الى Hameed and (Al-Farttoosy, 2022) التي اثبتت كفاءة البكتيريا في استغلال الكاربون من المبيد MBC للنمو. وطالما ان المبيد TM ينتمي لنفس المجموعة لتي فيها مبيد MBC فان البكتيريا كذلك أظهرت مقدرتها في الاستفادة من المبيد كطاقة.



شكل (12): خطوط سمية ضد البكتيريا *P. putida* . (A) خط سمية المبيد TB قبل التصحيح و (B) خط سمية المبيد TB بعد التصحيح و (C) خط سمية المبيد C قبل التصحيح و (D) خط سمية المبيد C بعد التصحيح و (E) خط سمية المبيد TM قبل التصحيح و (F) خط سمية المبيد TM بعد التصحيح.

جدول (11): سمية مبيد TB في نمو بكتيريا *P. putida* ونموها النسبي ونسبة التثبيط المئوية.

وحدات الاحتمال	الانحراف القياسي	% التثبيط	الانحراف القياسي	% النمو	الانحراف القياسي	مساحة النمو في الطبق	التركيز ملغم لتر ⁻¹
4.64	1.244	36.836	1.244	63.163	0.001	1.022	2
4.97	1.038	49.415	1.038	50.584	0.002	0.819	8
4.87	1.046	45.833	1.046	54.166	0.002	0.877	10
5.23	0.726	59.402	0.726	40.597	0.002	0.657	20
	0	0	0	100	0.029	1.619	المقارنة

جدول (12): سمية مبيد MBC في نمو بكتيريا *P. putida* ونموها النسبي ونسبة التثبيط المؤدية.

وحدات الاحتمال	الانحراف القياسي	% التثبيط	الانحراف القياسي	% النمو	الانحراف القياسي	مساحة النمو في الطبق	التركيز ملغم لتر ⁻¹
4.48	0.509	30.491	0.509	69.508	0.001	0.748	2
4.69	0.413	38.324	0.413	61.675	0.001	0.664	8
4.19	1.147	21.321	1.147	78.678	0.005	0.847	10
4.19	0.865	21.029	0.865	78.970	0.016	0.850	20
	0	0	0	100	0.009	1.076	المقارنة

جدول (13): سمية مبيد TM في نمو بكتيريا *P. putida* ونموها النسبي ونسبة التثبيط المؤدية.

وحدات الاحتمال	الانحراف القياسي	% التثبيط	الانحراف القياسي	% النمو	الانحراف القياسي	مساحة النمو في الطبق	التركيز ملغم لتر ⁻¹
5.88	0.659	71.917	0.659	28.082	0.004	0.454	2
5.05	0.923	52.627	0.923	47.372	0.002	0.767	8
4.97	0.778	49.769	0.778	50.230	0.002	0.813	10
3.82	1.533	12.073	1.533	87.926	0.001	1.423	20
	0	0	0	100	0.029	1.619	المقارنة

الاستنتاجات:

توصل التشخيص الجزيئي لعزلة الفطر المرض المعزولة من تربة نبات البازنجان المصايب بأنه الفطر *R. solani*. كما ثبت التشخيص الجزيئي للعزلات البكتيرية هي *P. putida* و *E. cloacae* و *A. caviae*. كما بينت الدراسة بأن السلالات *A. caviae* و *E. cloacae* خفض نسبة انبات بذور البازنجان، بينما كان للسلالة البكتيرية *P. putida* دوراً معززاً في نسب انبات بذور البازنجان. كما توصلت الدراسة الى كفاءة المبيد BT بالتركيز الواطئة ٢٤ و ٨ و ١٠ و ١٥ و ٢٠ والتراكيز المرتفعة ١٠٠ و ٢٥٠ و ٣٥٠ و ٤٥٠ و ٥٠٠ ملغم لتر⁻¹ في تثبيط الممرضين بنسبة ١٠٠%. حدد قيم E₅₀ للمبيد MBC في الفطر *R. solani* بـ ١٠٠ ملغم لتر⁻¹، بينما قدر التركيز المثبط النصفى للمبيد TM في الفطر *P. putida* بـ ٤٩٠.٧ ملغم لتر⁻¹. بلغت قيمة MIC للمبيد TB في البكتيريا *A. caviae* و *E. cloacae* و *P. putida* بـ ٧.٩٤ ملغم لتر⁻¹. بينما بلغت للمبيد MBC ١٢٠.٥٨ و ١٢٠.٥٩ و ١٢٠.٥٥ على التوالي للترتيب أعلاه. في حين كانت القيم في حالة المبيد TM ٣١.٦٢ و ١٩٩ و ١٩٩ على التوالي للترتيب أعلاه.

References

- Abd-El-Khair, H., Elshahawy, I. E., & Haggag, H. K. (2019). Field application of Trichoderma spp. combined with thiophanate-methyl for controlling Fusarium solani and Fusarium oxysporum in dry bean. *Bulletin of the National Research Centre*, 43, 1-9.
<https://bnrc.springeropen.com/articles/10.1186/s42269-019-0062-5>

- Abdulmoohsin, R. G., Lahuf, A. A., Husain, Y. N., & Hameed, Z. L. (2019).** Bioefficiency of some indigenous biocontrol agents against Rhizoctonia solani causing cowpea seed rot and preemergence damping-off. In *IOP Conference Series: Earth and Environmental Science* (Vol. 388, No. 1, p. 012011). IOP Publishing. <https://agriculture.uokerbala.edu.iq/wp/en/blog/2020/06/17/bioefficiency-of-some-indigenous-biocontrol-agents-against-rhizoctonia-solani-causing-cowpea-seed-rot-and-preemergence-damping-off-rajaa-g-abdulmoohsin1-adnan-a-lahufl-yasir-n-husain1-and-zainab/>
- Agrios G. N. (2005).** Plant Pathology. 5th Ed. Elsevier Inc. USA. 998pp. <https://www.scirp.org/reference/referencespapers?referenceid=1257092>
- Al-Baldawy, M. S. M., Matloob, A. A., & Almammory, M. K. (2021, April).** Effect of Plant Extracts and Biological control agents on Rhizoctonia solani Kuhn. In *IOP Conference Series: Earth and Environmental Science* (Vol. 735, No. 1, p. 012079). IOP Publishing. https://repository.atu.edu.iq/uploads/repo_file_15_23_06_22_40.pdf
- Al-Fadhal, F. A., Al-Abedy, A. N., & Alkhafije, D. A. (2019).** Isolation and molecular identification of Rhizoctonia solani and Fusarium solani isolated from cucumber (*Cucumis sativus L.*) and their control feasibility by Pseudomonas fluorescens and *Bacillus subtilis*. *Egyptian Journal of Biological Pest Control*, 29, 1-11. <https://ejbpc.springeropen.com/articles/10.1186/s41938-019-0145-5>
- Al-Machi, S. H. (2014).** The Effect of Nutrition Systems and Exchange of Diets on Some Productive Performance of Broilers. *Al-Qadisiyah Journal For Agriculture Sciences*, 4(2), 40-49. <https://www.iasj.net/iasj/article/97276>
- Central Organization for Statistics. (2022).** Production of crops and vegetables for 2022. Directorate of Agricultural Statistics/Ministry of Planning, Republic of Iraq. 20 pages. <https://mop.gov.iq/archives/11935. Last access ٢٠٢٤/٦/١٦>
- Cycoń, M., Wójcik, M., & Piotrowska-Seget, Z. (2011).** Biodegradation kinetics of the benzimidazole fungicide thiophanate-methyl by bacteria isolated from loamy sand soil. *Biodegradation*, 22, 573-583.
- Fani, S. R., Azimi, H., & Probst, C. (2022).** Efficacy of Beltanol (SL 37.5%) on damping-off disease of cucumber. *Journal of Crop Protection*, 11(3), 425-431. <https://jcp.modares.ac.ir/article-3-58616-en.html>
- Fouad, A. F., Barry, J., Caimano, M., Clawson, M., Zhu, Q., Carver, R. & Radolf, J. D. (2002).** PCR-based identification of bacteria associated with endodontic infections. *Journal of clinical microbiology*, 40(9), 3223-3231. <https://journals.asm.org/doi/pdf/10.1128/jcm.40.9.3223-3231.2002>
- Gomah, A. A. (2008).** Efficiency of some copper compounds and bactericides in controlling angular leaf spot disease of cucumber. *Journal of Plant Production*, 33(4), 2589-2597. DOI: 10.21608/JPP.2008.164836
- Hameed, S. N., & Al-Farttoosy, A. H. (2022).** Biodegradation of Carbendazim using four bacterial Strains. *Misan Journal for Academic Studies*, 21(44), 346-358. <https://misan-jas.com/index.php/ojs/article/view/395>
- Hayashi, S., Umezawa, K., Tsuzukibashi, O., Fukatsu, A., Fuchigami, M., Komine, C., ... & Nomoto, T. (2024).** Study on Distribution of Four Pseudomonas Species in Living Environment Using Multiplex PCR. *Open Journal of Stomatology*, 14(2), 77-86. <https://www.scirp.org/journal/paperinformation?paperid=131146>
- Hendricks, K. E., Christman, M. C., & Roberts, P. D. (2017).** A statistical evaluation of methods of in-vitro growth assessment for *Phyllosticta citricarpa*: Average colony diameter vs. area. *Plos one*, 12(1), e0170755. <https://journals.plos.org/plosone/article?id=10.1371/journal.pone.0170755>

Hussain, R., Arif, S., Sikander, M. A., & Memon, A. R. (2011). Effect of using bio-control agents on growth, yield, head quality and root rot control in Broccoli plants. 71-80.
<https://www.cabidigitallibrary.org/doi/full/10.5555/20123153552>

Infante, D., Reyes, Y., Gonzalez, N., & Martínez, B. (2013). Molecular identification of thirteen isolates of *Trichoderma* spp. and evaluation of their pathogenicity towards *Rhizoctonia solani* Kühn. *Biología aplicada*, 30(1), 23-28.
<https://elfossientiae.cigb.edu.cu/PDFs/Biotecnol%20Apl/2013/30/1/BA003001OL023-028.pdf>

Jabr, Salman Jabr, Farhan Dayab Abdul Wahid and Ahmed Hamid Rashid (2008). Evaluate the efficiency of certain biological control agents and Beltanol against *Rhizoctonia solani* and *Fusarium oxysporum* causing seed rot and damping off of watermelon. Journal of Iraqi Agricultural Sciences vol. (39) No. (2): 68-78.
<http://194.127.137.90:8080/repoAnbar/handle/123456789/8316>

Jasim, Naji Salem (2012). Evaluate the efficiency of Salicylic Acid (SA) and *Trichoderma harzianum* in resisting root rot disease in Okra caused by *Rhizoctonia solani*. Karbala University Journal. 2nd Scientific Conference of the Faculty of Agriculture. 778-787
<https://www.iasj.net/iasj/article/92236>.

Jin, C., Zhang, J., Wang, Q., Chen, H., Wang, X., Zhang, Y., & Wang, H. (2018). Molecular characterization of carbapenem-resistant Enterobacter cloacae in 11 Chinese cities. *Frontiers in microbiology*, 9, 1597. <https://doi.org/10.3389/fmicb.2018.01597>

Khudier, N. H., & Abdalmoohsin, R. G. (2023). Assessment the Efficiency of the Bioagent *Bacillus velezensis* and the Biohealth Formula with Fungicide Beltanol in Control of *Fusarium solani* Causing Pepper Root Rot. In *IOP Conference Series: Earth and Environmental Science* (Vol. 1262, No. 3, p. 032010). IOP Publishing. <https://iopscience.iop.org/article/10.1088/1755-1315/1262/3/032010>

Kushwaha, K. P. S., & Singh, G. (2017). Evaluation of systemic and non-systemic fungicides against *Rhizoctonia solani* causing web blight in urdbean. *Journal of Hill Agriculture*, 8(2), 206-209.
[10.5958/2230-7338.2017.00038.6](https://doi.org/10.5958/2230-7338.2017.00038.6)

Lai, M., Yadav, S., & Chand, S. (2017). Thiophanate methyl 45% + Pyraclostrobin 5% FS: A new molecule for potato tubers treatment against black scurf disease caused by *Rhizoctonia solani*. *Indian Journal of Plant Protection*, 45, 177–180. https://www.researchgate.net/profile/Mehi-Lal/publication/323573779_Thiophanate_methyl_45_Pyraclostrobin_5_FS_A_new_molecule_for_potato_tubers_treatment_against_black_scurf_disease_caused_by_Rhizoctonia_solani/links/5ab9f24e0f7e9b68ef538dec/Thiophanate-methyl-45-Pyraclostrobin-5-FS-A-new-molecule-for-potato-tubers-treatment-against-black-scurf-disease-caused-by-Rhizoctonia-solani.pdf

Mihajlović, M., Rekanović, E., Hrustić, J., Grahovac, M., Stevanović, M., & Tanović, B. (2020). Effects of fungicides and biofungicides on *Rhizoctonia solani*, a pathogen of pepper. *Pesticides and Phytomedicine/Pesticidi i fitomedicina*, 35(2), 97-104.
<https://aseestant.ceon.rs/index.php/pif/article/view/28167>

Mulia, D. S., Isnansetyo, A., Pratiwi, R., & Asmara, W. (2020). Molecular characterizations of *Aeromonas caviae* isolated from catfish (*Clarias* sp.).
<https://www.cabidigitallibrary.org/doi/full/10.5555/20203600153>

Pant, H., Maurya, A., John, V., & Kumar Singh, M. (2024). *DISEASES OF EGGPLANT (SOLANUM MELONGENA) AND THEIR MANAGEMENT* (pp. 202–211).
<https://doi.org/10.58532/V3BCAG6P1CH17>

Salih, Y. A., & Hasan, N. A. (2023). Evaluation of efficiency of the bioagents Trichoderma koningii and T. viride in controlling the pathogenic fungus Fusarium oxysporum f. sp. lycopersici in the pots. *Misan Journal of Academic Studies*, 22(45), 264- 279. <https://www.iasj.net/iasj/article/274548>

San José, R., Sánchez, M.C., Cámara, M.M., Prohens, J., 2013. Composition of eggplant cultivars of the occidental type and implications for their improvement of nutritional and functional quality. *International Journal of Food Science and Technology* 48, 2490–2499. **Sigdel, S., Ranabhat, S., Bhandari, S., Magar, P. B., Shrestha, J., & Subedi, S. (2022).** In vitro evaluation of different fungicides against Rhizoctonia solani and Alternaria citri infecting citrus. *Journal of Agriculture and Natural Resources*, 5(1), 138–149. <https://doi.org/10.3126/janr.v5i1.50703>

Sha'ban, Awad and Nazar Mustafa Mallah. (1993) The Pesticides. Dar Al-Bookshop Foundation for Printing and Publishing. University of Mosul. 520 pages.

Sharma, M., & Kaushik, P. (2021). Biochemical composition of eggplant fruits: A review. *Applied sciences*, 11(15), 7078. <https://www.mdpi.com/2076-3417/11/15/7078>

Sigdel, S., Ranabhat, S., Bhandari, S., Magar, P. B., Shrestha, J., & Subedi, S. (2022). In vitro evaluation of different fungicides against Rhizoctonia solani and Alternaria citri infecting citrus. *Journal of Agriculture and Natural Resources*, 5(1), 138–149. <https://doi.org/10.3126/janr.v5i1.50703>

Silambarasan, S., & Abraham, J. (2020). Biodegradation of carbendazim by a potent novel Chryseobacterium sp. JAS14 and plant growth promoting Aeromonas caviae JAS15 with subsequent toxicity analysis. *3 Biotech*, 10(7), 326.

Soomro, K., Syed, R., Khanzada, M., & Lodhi, A. (2015). FUNGITOXICITY OF DIFFERENT CHEMICAL FUNGICIDES TO SEED BORNE AND ROOT INFECTING FUNGI ASSOCIATED WITH SOLANUM MELONGENA L. 223–232. <https://www.cabidigitallibrary.org/doi/full/10.5555/20153243299> or https://www.researchgate.net/profile/Khalilullah-Soomro/publication/344173872_FUNGITOXICITY_OF_DIFFERENT_CHEMICAL_FUNGICIDES_TO_SEED_BORNE_AND_ROOT_INFECTING_FUNGI_ASSOCIATED_WITH_SOLANUM_MELONGENA_L/links/5f58bc4da6fdcc9879d8e630/FUNGITOXICITY-OF-DIFFERENT-CHEMICAL-FUNGICIDES-TO-SEED-BORNE-AND-ROOT-INFECTING-FUNGI-ASSOCIATED-WITH-SOLANUM-MELONGENA-L.pdf

Tekade A., Mina D. K., Kothikar R. B. and Kirde C. V. (2021). Evaluation of Fungicides and Antagonists Against Rhizoctonia bataticola and Fusarium solani Causing Root rot in Plant Agoovata. *J.Pl.Dis.Sci.*, Vol 16(1) 2021 :28-30. <https://www.indianjournals.com/ijor.aspx?target=ijor:jpls&volume=16&issue=1&article=006>

Waham , A. A. and Naser, L.A. (2024). Detection of Exoenzyme Effectors and Determination The MIC of Antibiotics for *Pseudomonas aeruginosa* Isolated from Ear Infections Patients in Basrah Province, Iraq. *Missan Journal for Academic Studies*, 23(50), 1–18.